

01;02
©1992 г.

ИОНИЗАЦИЯ ПРИ СТОЛКНОВЕНИЯХ РЕЗОНАНСНО-ВОЗБУЖДЕННЫХ АТОМОВ $\text{Ne}(3s^{1,3}P_1)$ С МОЛЕКУЛАМИ H_2 И D_2

А.Л.Загребин, Е.П.Пермогорова

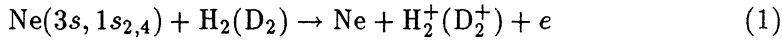
В рамках метода псевдопотенциала вычислены термы квазимолекулы $\text{Ne}(2p^53s)-\text{H}_2$. Показано, что потенциальные поверхности для всех состояний $\text{Ne}(3s)-\text{H}_2$ практически совпадают (в достижимой для тепловых столкновений области) и слабо зависят от ориентации молекулы H_2 . Выполнен анализ автоионизационных ширин резонансно-возбужденных квазимолекулярных состояний $\text{Ne}(3s^{1,3}P_1)-\text{H}_2$. Сечения и константы скорости ионизации для столкновений резонансно-возбужденных атомов $\text{Ne}(3s^{1,3}P_1)$ с молекулами H_2 и D_2 представлены в виде сумм рассчитанных вкладов прямого механизма ионизации и вкладов обменного механизма, которые выражены через экспериментальные сечения и константы для метастабильных атомов $\text{Ne}(3s^3P_{0,2})$. Полученные при $T = 300$ К константы скорости ионизации согласуются с имеющимися экспериментальными данными. Показано, что для столкновений $\text{Ne}(3s^1P_1)+\text{H}_2, \text{D}_2$ процесс ионизации определяется прямым механизмом, так что вычисленные с учетом только этого механизма значения дают хорошие оценки для сечений и констант скорости ионизации. Для столкновений $\text{Ne}(3s^3P_1)+\text{H}_2, \text{D}_2$ процесс ионизации определяется обменным механизмом, и сечения (константы) близки к соответствующим величинам для метастабильных атомов $\text{Ne}(3s^3P_{0,2})$. Вычислены также коэффициенты диффузии возбужденных атомов $\text{Ne}(3s^{1,3}P_j)$ в молекулярном водороде и дейтерии.

Введение

Процессы ионизации при тепловых столкновениях ($T \sim 300$ К) возбужденных атомов $\text{Ne}(3s^{1,3}P_J)$ с атомами тяжелых инертных газов Ar, Kr, Xe, и молекулой H_2 представляют значительный интерес в связи с созданием лазеров на переходах $3p - 3s$ атома неона с пенинговской очисткой нижних лазерных уровней (см., например, [1]). К настоящему времени детальные экспериментальные данные получены для столкновений метастабильных атомов $\text{Ne}(3s^3P_{0,2})$ с атомами Ar, Kr и Xe [2-6]. Теоретический анализ процессов ионизации при столкновениях резонансно-возбужденных атомов $\text{Ne}(3s^{1,3}P_1)$ с атомами Ar, Kr и Xe выполнен в [7,8]. Результаты расчетов [7,8] согласуются с единственными экспериментальными данными [9] для столкновений $\text{Ne}(3s^3P_1)+\text{Ar}, \text{Kr}, \text{Xe}$ при $T = 300$ К.

Процессы ионизации при столкновениях возбужденных атомов Ne($3s$) с молекулой водорода исследованы менее полно. В работах [9–14] получены экспериментальные сечения и константы скорости ионизации для столкновений $\text{Ne}(3s^3 P_{0,2}) + \text{H}_2$, а в [9, 15] — константы для столкновений $\text{Ne}(3s^1, 3P_1) + \text{H}_2$. Почти все результаты относятся к температуре $T \approx \approx 300$ К. Отметим, что полученные в [10] при $T = 300, 500, 650$ К константы скорости ионизации завышены по сравнению с данными других авторов (при $T = 300$ К).

В данной работе выполнен анализ потенциальных поверхностей взаимодействия и автоионизационных ширин для квазимолекулы $\text{Ne}(3s) - \text{H}_2$. Сечения и константы скорости ионизации для столкновений резонансно-возбужденных атомов неона¹ с молекулой $\text{H}_2(\text{D}_2)$



представлены в виде сумм рассчитанных вкладов прямого механизма ионизации и вкладов обменного механизма.² Для определения вкладов обменного механизма в константы скорости ионизации для резонансно-возбужденных атомов используются экспериментальные константы для метастабильных атомов $\text{Ne}(3s, 1s_{3,5})$. Полученные при $T = 300$ К константы скорости ионизации для резонансно-возбужденных атомов $\text{Ne}(3s, 1s_{2,4})$ согласуются с имеющимися экспериментальными данными. Показано, что для атомов $\text{Ne}(3s, 1s_2)$ определяющий вклад в ионизацию дает прямой механизм. Поэтому вычисленные при различных энергиях и температурах вклады прямого механизма в сечения и константы скорости ионизации дают хорошие оценки для полных сечений и констант скорости ионизации при столкновениях $\text{Ne}(3s, 1s_2) + \text{H}_2, \text{D}_2$. Для атомов $\text{Ne}(3s, 1s_4)$ определяющий вклад в ионизацию дает обменный механизм, так что экспериментальные данные для метастабильных атомов $\text{Ne}(3s, 1s_3), \text{Ne}(3s, 1s_5)$ могут служить хорошими оценками для сечений и констант скорости ионизации при столкновениях $\text{Ne}(3s, 1s_4) + \text{H}_2, \text{D}_2$. Вычислены также коэффициенты диффузии возбужденных атомов $\text{Ne}(2p^5 3s^1, 3P_J)$ в водороде идейтерии.

Взаимодействие возбужденных атомов $\text{Ne}(2p^5 3s)$ с молекулой водорода

Для расчета потенциальных поверхностей системы $\text{Ne}(2p^5 3s) - \text{H}_2$ воспользуемся методом псевдопотенциала, предложенным в [16, 17] для расчета взаимодействия возбужденных атомных частиц с гомоядерными молекулами. Условия применимости этого метода рассмотрены в [16, 17].

Одноэлектронный оператор взаимодействия возбужденного атома $A(nl)$ и молекулы M_2 представляется в виде

$$\hat{U} = \hat{V}^{ex} + \hat{V}^{pol} + \hat{V}^q, \quad (2)$$

¹ Для уровней конфигурации $\text{Ne}(2p^5 3s)$ наряду с обозначениями LS -типа связи используются обозначения Пашена (уровни $1s_2, 1s_3, 1s_4, 1s_5$ соответствуют уровням $1P_1, 3P_0, 3P_1, 3P_2$ в обозначениях LS -связи).

² Другие возможные каналы ионизации с образованием молекулярных ионов NeH^+ и NeH_2^+ имеют существенно меньшие сечения, чем процесс (1) [12–14].

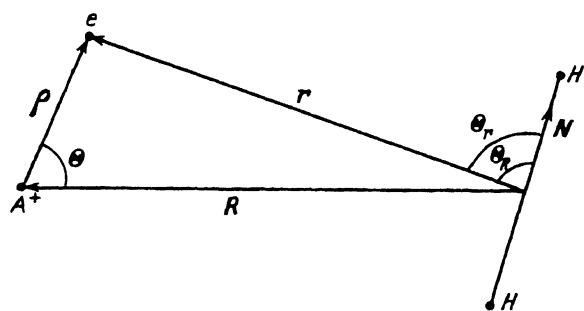


Рис. 1. Системы координат, используемые для расчета матричных элементов взаимодействия.

φ — угол между плоскостями (R, r) и (R, N) .

где

$$\hat{V}^{ex} = 2\pi L_0 \delta(\mathbf{r}) \quad (3)$$

— оператор короткодействующего взаимодействия возбужденного электрона с молекулой M_2 ; L_0 — длина рассеяния медленного электрона на локализованной в области $r < r_0$ части потенциала взаимодействия электрона с молекулой (при определении L_0 электрон-молекулярный потенциал в области $r > r_0$ полагается равным нулю); \mathbf{r} — радиус-вектор возбужденного электрона, отсчитанный от центра масс молекулы M_2 (рис. 1); r_0 — характерный радиус молекулы M_2 ; $\delta(\mathbf{r})$ — дельта-функция Дирака.

Оператор \hat{V}^{ex} включает в себя обменное взаимодействие электрона с молекулой и поляризационное электрон-молекулярное взаимодействие в области $r < r_0$. Отметим, что электрон-молекулярное взаимодействие при малых r описывается потенциалом нулевого радиуса, что позволяет не детализировать вид потенциала в области $r < r_0$. Оператор

$$\hat{V}^{pol} = \begin{cases} -\frac{\beta}{2} \left(\frac{1}{R^4} - \frac{2(R\mathbf{r})}{R^3 r^3} + \frac{1}{r^4} \right); & r \geq r_0, \\ 0; & r < r_0/cr \end{cases} \quad (4)$$

учитывает поляризационное взаимодействие двух зарядов (электрон и ионный остов A^+) с молекулой M_2 при $r \geq r_0$ (поляризационное взаимодействие при $r < r_0$ включено в оператор \hat{V}^{ex}). В (4) пренебрегается анизотропностью поляризуемости молекулы M_2 , так как для $M_2 = H_2$ соответствующий вклад в величину взаимодействия мал [16, 17], β — дипольная поляризуемость молекулы M_2 , \mathbf{R} — радиус-вектор остова A^+ , отсчитанный от центра масс молекулы M_2 .

Оператор

$$\hat{V}^q = \frac{Q P_2(\cos \theta_R)}{R^3} - \frac{Q P_2(\cos \theta_r)}{r^3} \quad (5)$$

учитывает взаимодействие зарядов ионного остова A^+ и возбужденного электрона с квадрупольным моментом Q молекулы M_2 , θ_R и θ_r — углы между осью молекулы M_2 и векторами \mathbf{R} и \mathbf{r} соответственно (рис. 1), $P_2(x)$ — полином Лежандра. При вычислении матричных элементов

$$U_{nlm, n'l'm'}(R, \theta_R) = \langle \Phi_{nlm} | \hat{U} | \Phi_{n'l'm'} \rangle, \quad (6)$$

где $\Phi_{nlm}(\rho) = f_{nl}(\rho)Y_{lm}(\rho/\rho)$ — невозмущенная волновая функция возбужденного электрона атома $A(nl)$; ρ — радиус-вектор возбужденного электрона, отсчитанный от ионного остова A^+ ; в [16, 17] использовались аналитические аппроксимации радиальных волновых функций $f_{nl}(\rho)$.

Во многих случаях, когда волновые функции f_{nl} заданы в виде таблиц или аналитических выражений, отличных от использованных в [16, 17], удобны выражения для матричных элементов $U_{nlm, n'l'm'}$, не конкретизирующие вид волновых функций $f_{nl}(\rho)$. Для случая взаимодействия возбужденных атомов A^+ с атомами инертных газов в основном состоянии, когда в (2) отсутствует член \hat{V}^0 , такие выражения для матричных элементов (6) получены в [18, 19]. Аналогичные выражения можно получить и для взаимодействия с молекулой. Окончательно матричные элементы (6) представляются в виде

$$U_{nlm, n'l'm'}(R, \theta_R) = U_{nlm, n'l'm'}^{ex} \delta_{mm'} + U_{nlm, n'l'm'}^{sc} \delta_{mm'} + \\ + U_{pol}^{ion} \delta_{nn'} \delta_{ll'} \delta_{mm'} + U_{nlm, n'l'm'}^q. \quad (7)$$

Величина $U_{nlm, n'l'm'}^{ex}$ включает в себя матричный элемент $2\pi L_0 \times \Phi_{nlm}^*(-\mathbf{R})\Phi_{n'l'm'}(-\mathbf{R})$ оператора \hat{V}^{ex} (3) и сильно зависящую от параметра r_0 часть $-2\pi(\beta/r_0)\Phi_{nlm}^*(-\mathbf{R})\Phi_{n'l'm'}(-\mathbf{R})$ матричного элемента оператора \hat{V}^{pol} (4), так что

$$U_{nl0, n'l'0}^{ex} = 2\pi B\Phi_{nl0}^*(-\mathbf{R})\Phi_{n'l'0}(-\mathbf{R}), \quad (8)$$

где $B = L$, $L = L_0(\beta/r_0)$ — „наблюдаемая“ длина рассеяния медленного электрона на молекуле M_2 ; при $m = 0$ матричный элемент $U_{nlm, n'l'm'}^{ex} = 0$.

В [16] с учетом энергетической зависимости оператора электрон-молекулярного рассеяния получено более точное выражение для величины

$$B = \begin{cases} L + \alpha L^2 + \frac{\alpha}{3} QLP_2(\cos \theta_R) - \frac{4}{3}\alpha^2 \beta L \ln \alpha; & R \geq \frac{1}{|E^*|}, \\ L; & R < \frac{1}{|E^*|}, \end{cases} \quad (9)$$

где

$$\alpha = \left| 2 \left(E^* + \frac{1}{R} \right) \right|^{1/2},$$

$E^* < 0$ — энергия связи возбужденного электрона (предполагается, что энергии связи E_{nl} и $E_{n'l'}$ близки).

Отметим, что функция $B(R)$ имеет разрыв производной при $R = 1/|E^*|$. Соответствующие особенности матричных элементов (8) сглаживались при расчетах. Величина

$$U_{pol}^{ion} = -\frac{\beta}{2T^4} \quad (10)$$

представляет собой поляризационное ион-молекулярное взаимодействие и является матричным элементом первого члена оператора \hat{V}^{pol} (4). При

малых R сумма поляризационного потенциала (10) и ион-молекулярной части $(QP_2(\cos \theta_R)/R^3)$ оператора \hat{V}^q (5) может быть заменена на "истинный" матричный элемент оператора ион-молекулярного взаимодействия, учитывающий, в частности, обменное взаимодействие остова A^+ с молекулой M_2 . Неучтенная в U_{pol}^{ion} и в $U_{nlm,n'l'm}^{ex}$ часть оператора \hat{V}^{pol} дает матричный элемент $U_{nlm,n'l'm}^{sc}$, который характеризует экранирование поляризационного ион-молекулярного взаимодействия полем возбужденного электрона. Выражения для матричных элементов $U_{nlm,n'l'm}^{sc}$ совпадают с полученными в [18, 19] для случая взаимодействия возбужденных атомных частиц с атомами инертных газов. В частности,

$$U_{n00,n00}^{sc}(R) = \frac{\beta}{8R} \int_0^\infty \frac{|f_{n0}(\rho)|^2 \rho}{(R + \rho)^2} d\rho + \frac{\beta}{R^4} \int_0^R |f_{n0}(\rho)|^2 \rho^2 d\rho + \\ + \frac{\beta}{8R} \frac{d}{dx} vp \left. \int_0^\infty \frac{|f_{n0}(\rho)|^2}{x - \rho} d\rho \right|_{x=R}. \quad (11)$$

Матричные элементы оператора \hat{V}^q (5) вычисляются аналогично матричным элементам оператора \hat{V}^{pol} [18, 19] путем перехода от переменных r, θ_r, φ к переменным ρ и θ, φ (рис. 1). В частности, диагональный матричный элемент для сферически-симметричного s -состояния

$$U_{n00,n00}^q = \frac{QP_2(\cos \theta_R)}{R^3} \int_R^\infty |f_{n0}(\rho)|^2 \rho^2 d\rho \quad (12)$$

соответствует взаимодействию заряда остова A^+ и части электронного облака (в области $\rho < R$) с квадрупольным моментом молекулы.

При вычислении потенциальных поверхностей системы $\text{Ne}(3s)-\text{H}_2$ в области больших и средних R можно пренебречь взаимодействием различных конфигураций $\text{Ne}(nl)-\text{N}_2$. Поэтому потенциальная поверхность определяется диагональным матричным элементом $U_{300,300}(R, \theta_R)$. Вычисленные при углах $\theta_R = 0, \pi/4, \pi/2$ зависимости $U_{300,300}(R)$ приводятся на рис. 2. При расчете использовались значения $L = 1.1$ а.е., $\beta = 5.5$ а.е., $Q = 0.5$ а.е. [17, 18] и хартри-фоковская волновая функция $3s$ -электрона [20]. Отметим, что потенциальная поверхность $U_{300,300}(R, \theta_R)$ слабо зависит от угла θ_R .

Внутриатомные взаимодействия (обменное взаимодействие возбужденного $3s$ -электрона с остовом Ne^+ и спин-орбитальное взаимодействие) приводят к мультиплетному расщеплению конфигурации $\text{Ne}(2p^5 3s)$. Эти взаимодействия могут быть введены в эффективный гамильтониан квазимолекулы [21, 22]. В итоге образуются четыре идентичные потенциальные поверхности, коррелирующие при $R \rightarrow \infty$ с состояниями $\text{Ne}(2p^5 3s, 1s_i)-\text{H}_2$.

Неучтенное обменное взаимодействие остова Ne^+ с молекулой H_2 зависит от ориентации полного электронного углового момента j иона Ne^+

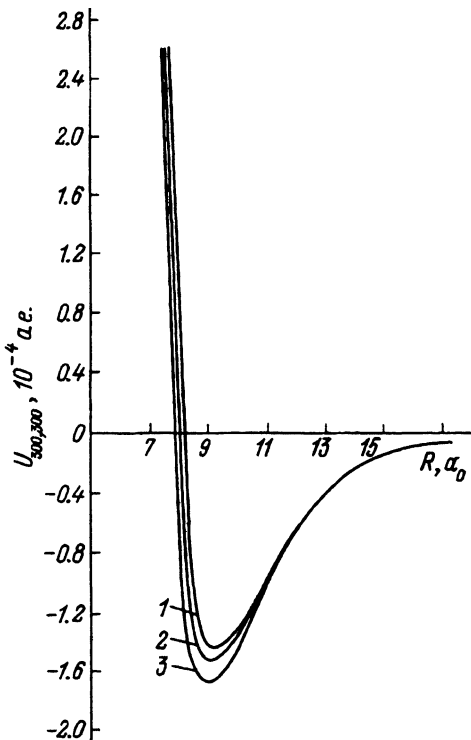


Рис. 2. Матричные элементы $U_{300,300}(R, \theta_R)$ взаимодействия $\text{Ne}(3s)-\text{H}_2$ при $\theta_R = 0$ (1), $\pi/4$ (2), $\pi/2$ (3).

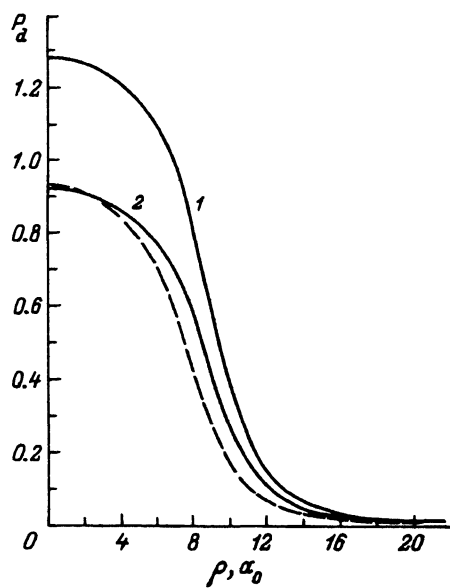


Рис. 3. Зависимости $10 \times \bar{P}_2^d$ (1) и $100 \times \bar{P}_4^d$ (2) от параметра удара. $E = 0.05$ (сплошные кривые), 0.10 эВ (штриховая).

относительно вектора \mathbf{R} и определяет расщепление вырожденных в пределе $R \rightarrow \infty$ потенциальных поверхностей. В случае взаимодействия $\text{Ne}(2p^53s)-\text{Ar}, \text{Kr}, \text{Xe}$ такое расщепление потенциальных кривых в достижимой при тепловых столкновениях области R мало [7, 21, 22]. Можно ожидать, что и в случае взаимодействия $\text{Ne}(2p^53s)-\text{H}_2$ расщепление потенциальных поверхностей в достижимой области R также мало.

Таким образом, при анализе процесса ионизации незначительное расщепление потенциальных поверхностей $U_{q(i)}(R, \theta_R)$ взаимодействия $\text{Ne}(1s_i)-\text{H}_2$ (q — набор квантовых чисел, характеризующих состояние квазимолекулы $\text{Ne}(1s_i)-\text{H}_2$) в области малых R можно не учитывать и полагать все потенциальные поверхности $\text{Ne}({}^1P_1, {}^3P_{0,1,2})-\text{H}_2$ идентичными. Слабая зависимость потенциала взаимодействия от угла θ_R позволяет не учитывать вращение молекулы H_2 в процессе столкновения (характерный период вращения сопоставим с временем столкновения) и считать потенциал взаимодействия центральным (при расчетах полагалось $\tilde{U}(R) = U(R, \theta_R = \pi/4)$).

Поскольку процесс ионизации (1) при тепловых энергиях происходит в области достаточно больших расстояний R (рис. 2), то будем, как и для взаимодействия He^* , Ne^*-Ag , Kr , Xe ^[7, 23, 24], считать, что автоионизационные ширины резонансных квазимолекулярных состояний $\text{Ne}(2p^53s, 1s_{2,4})-\text{H}_2$ представляются в виде сумм вкладов двух частей, соответствующих дальнодействующему прямому и короткодействующему обменному механизму ионизации,

$$\Gamma_{q(i)}(R, \theta_R) = \Gamma_{q(i)}^d(R, \theta_R) + \Gamma_{q(i)}^{ex}(R, \theta_R). \quad (13)$$

В (13) пренебрегается интерференцией вкладов прямого и обменного механизмов ионизации^[25, 26]. Для метастабильных состояний ($i = 3, 5$) вклад в автоионизационную ширину $\Gamma_{q(i)}(R, \theta_R)$ дает только обменный механизм.

Как показали расчеты, вероятность ионизации в процессе столкновения $\text{Ne}(1s_i)-\text{H}_2$ мала ($P_i \ll 1$) (см. ниже). Поэтому при анализе реакции (1) можно не учитывать уменьшение заселенности исходного состояния в ходе столкновения. В достижимой для тепловых столкновений области R потенциальные поверхности для различных квазимолекулярных состояний $\text{Ne}(2p^53s)-\text{H}_2$ практически совпадают, а их расщепление (для вырожденных в пределе $R \rightarrow \infty$ состояний) мало. Таким образом, при анализе процесса (1) усреднение по начальным состояниям квазимолекулы (q) и углу θ_R можно провести уже на уровне автоионизационных ширин

$$\bar{\Gamma}_i(R) = \bar{\Gamma}_i^d(R) + \bar{\Gamma}_i^{ex}(R). \quad (14)$$

Для усредненной автоионизационной ширины $\bar{\Gamma}_i^d(R)$ прямого механизма воспользуемся диполь-дипольным приближением^[27, 28]. Тогда

$$\bar{\Gamma}_i^d(R) = \frac{1}{2} \frac{f_i \sigma_i^{ph} c}{\pi \omega_i^2 R^6}, \quad (15)$$

где f_i и ω_i — сила осциллятора для поглощения и частота перехода $\text{Ne}(^1S_0-1s_i)$; c — скорость света; σ_i^{ph} — сечение фотоионизации молекулы H_2 на частоте ω_i , усредненное по начальным состояниям и просуммированное по конечным состояниям иона H_2^+ .

При расчетах использовались значения $f_2 = 0.15$, $f_4 = 0.010$, $\omega_2 = 0.619$ а.е., $\omega_4 = 0.613$ а.е. из справочника^[29] и $\sigma_2^{ph} = \sigma_4^{ph} = 0.34 a_0^2$ ^[9, 30].

Усредненную ширину обменного механизма автоионизации резонансного состояния квазимолекулы ($i = 2, 4$), как и для случая взаимодействия $\text{Ne}(1s_i)-\text{Ag}$, Kr , Xe ^[7], выражим через усредненные ширины автоионизации метастабильных квазимолекулярных состояний ($i = 3, 5$), которые определяются только обменным механизмом ($\bar{\Gamma}_3 = \bar{\Gamma}_3^{ex}$, $\bar{\Gamma}_5 = \bar{\Gamma}_5^{ex}$),

$$\bar{\Gamma}_2^{ex}(R) = \alpha^2 \bar{\Gamma}_3(R) + \beta^2 \bar{\Gamma}_5(R), \quad (16)$$

$$\bar{\Gamma}_4^{ex}(R) = \beta^2 \bar{\Gamma}_3(R) + \alpha^2 \bar{\Gamma}_5(R). \quad (17)$$

Здесь $\alpha = 0.773$ и $\beta = -0.634$ [7, 21, 22] — амплитуды разложения собственных функций атомных состояний $\text{Ne}(1s_{2,4})$ промежуточного типа связи по волновым функциям jl -типа связи.

Усредненная по начальным квазимолекулярным состояниям и углу θ_R вероятность ионизации в процессе столкновения

$$\bar{P}_i(E, \rho) = 2 \int_{R_t}^{\infty} \frac{\bar{\Gamma}_i(R) d(R)}{v(E, R, \rho)} \quad (18)$$

представляется в виде суммы вкладов прямого и обменного механизмов ионизации

$$\bar{P}_i(E, \rho) = \bar{P}_i^d(E, \rho) + \bar{P}_i^{ex}(E, \rho), \quad (19)$$

где каждая из вероятностей \bar{P}_i^d и \bar{P}_i^{ex} определяется выражением (18) с соответствующей шириной $\bar{\Gamma}_i^d$ или $\bar{\Gamma}_i^{ex}$.

В (18) величина $R_t(E, \rho)$ — минимальное расстояние между атомом Ne и молекулой H_2 , которое достигается при энергии столкновения E и параметре удара ρ (величина R_t почти не зависит от q и θ_R), $v(E, R, \rho) = v_{\infty}(1 - \bar{U}(R)/E - \rho^2/R^2)^{1/2}$, $v_{\infty} = (2E/\mu)^{1/2}$, μ — приведенная масса системы $\text{Ne}-\text{H}_2$. Справедливость выражений (18) и (19) определяется установленным выше лишь незначительным отличием потенциальных поверхностей различных квазимолекулярных состояний и малостью вероятности ионизации в процессе столкновения. Последнее обстоятельство позволяет пренебречь уменьшением заселенности исходных квазимолекулярных состояний вследствие распада в процессе столкновения. Малость вероятности ионизации подтверждается расчетом для вклада прямого механизма \bar{P}_i^d (рис. 3) и экспериментальными данными для процесса пеннигровской ионизации с участием метастабильных атомов ($i = 3, 5$), для которых процесс (1) определяется обменным механизмом. Действительно, сечение процесса (1) для столкновений $\text{Ne}(1s_{3,5})+\text{H}_2$ [9] существенно меньше, чем для столкновений $\text{Ne}(1s_{3,5})+\text{Ar}$, Kr , Xe [2-9], а для последних $P_i \lesssim 0.4$ [3] (при тепловых энергиях столкновения).

Усредненные по начальным состояниям сечения процесса (1)

$$\bar{\sigma}_i(E) = 2\pi \int_0^{\infty} P_i \rho d\rho \quad (20)$$

и константы скорости ионизации

$$K_i(T) = \frac{\bar{v}}{(kT)^2} \int_0^{\infty} E \bar{\sigma}_i(E) \exp\left(-\frac{E}{kT}\right) dE \quad (21)$$

($\bar{v} = (8kT/\pi\mu)^{1/2}$) также представляются в виде сумм вкладов прямого и обменного механизмов

$$\bar{\sigma}_i(E) = \bar{\sigma}_i^d(E) + \bar{\sigma}_i^{ex}(E), \quad (22)$$

$$K_i(T) = K_i^d(T) + K_i^{ex}(T). \quad (23)$$

С учетом малости вероятности ионизации в процессе столкновения каждая из величин $\bar{\sigma}_i^{d(ex)}$, $K_i^{d(ex)}$ в (22) и (23) представляется в виде однократного интеграла [31]

$$\bar{\sigma}_i^{d(ex)}(E) = \frac{4\pi}{v_\infty} \int_{R_0}^{\infty} \bar{\Gamma}_i^{d(ex)}(R) \left(1 - \frac{\bar{U}(R)}{E}\right)^{1/2} R^2 dR, \quad (24)$$

$$K_i^{d(ex)}(T) = 4\pi \int_0^{\infty} \bar{\Gamma}_i^{d(ex)}(R) \exp\left(-\frac{\bar{U}(R)}{kT}\right) R^2 dR, \quad (25)$$

где $R_0(E) = R_t(E, \rho = 0)$.

Отметим, что вклад в (25) области малых R , где расщепление потенциальных поверхностей становится существенным, при $T \lesssim 1000$ К пре-небрежимо мал, что позволяет использовать средний потенциал $\bar{U}(R)$ во всей области интегрирования.

Вычисленные зависимости $\bar{\sigma}_{2,4}^d(E)$ и $K_{2,4}^d(T)$ приводятся на рис. 4, 5. Для определения вклада обменного механизма воспользуемся экспериментальными данными для процесса ионизации с участием метастабильных атомов. Так как потенциальные поверхности для всех квазимолекулярных состояний $\text{Ne}(2p^5 3s)-\text{H}_2$ практически совпадают, то из разложений (16), (17) для обменных частей автоионизационных ширин получаем аналогичные представления для вкладов обменного механизма в сечения и константы скорости ионизации при столкновениях резонансно-возбужденных атомов ($i = 2, 4$) через сечения и константы скорости ионизации для метастабильных атомов ($i = 3, 5$). Таким образом, для сечений $\bar{\sigma}_{2,4}$ и констант $K_{2,4}$ имеем

$$\bar{\sigma}_2 = \bar{\sigma}_2^d + \alpha^2 \bar{\sigma}_3 + \beta^2 \bar{\sigma}_5, \quad (26)$$

$$\bar{\sigma}_4 = \bar{\sigma}_4^d + \beta^2 \bar{\sigma}_3 + \alpha^2 \bar{\sigma}_5, \quad (27)$$

$$K_2 = K_2^d + \alpha^2 K_3 + \beta^2 K_5, \quad (28)$$

$$K_4 = K_4^d + \beta^2 K_3 + \alpha^2 K_5, \quad (29)$$

где вычисленные зависимости $\bar{\sigma}_{2,4}^d(E)$ и $K_{2,4}^d(T)$ приводятся на рис. 4, 5, а для сечений $\bar{\sigma}_{3,5}$ и констант $K_{3,5}$ могут быть использованы экспериментальные значения.

В эксперименте [9] получены значения $K_3(300 \text{ K}) = (6.5 \pm 0.6) \times 10^{-11} \text{ см}^3 \cdot \text{с}^{-1}$ и $K_5(300 \text{ K}) = (6.5 \pm 0.8) \cdot 10^{-11} \text{ см}^3 \cdot \text{с}^{-1}$. Подстановка экспериментальных констант $K_3 = K_5$ и вычисленных величин $K_2^d(300 \text{ K}) = 2.4 \cdot 10^{-10} \text{ см}^3 \cdot \text{с}^{-1}$, $K_4^d(300 \text{ K}) = 1.7 \cdot 10^{-11} \text{ см}^3 \cdot \text{с}^{-1}$ в (28), (29) дает $K_2(300 \text{ K}) = 3.0 \cdot 10^{-10} \text{ см}^3 \cdot \text{с}^{-1}$, $K_4(300 \text{ K}) = 8.2 \cdot 10^{-11} \text{ см}^3 \cdot \text{с}^{-1}$. Экспериментальные значения $K_2(300 \text{ K}) = (2.0 \pm 0.5) \cdot 10^{-10} \text{ см}^3 \cdot \text{с}^{-1}$ [15], $K_4(300 \text{ K}) = (7.5 \pm 2.0) \cdot 10^{-11} \text{ см}^3 \cdot \text{с}^{-1}$ [9].

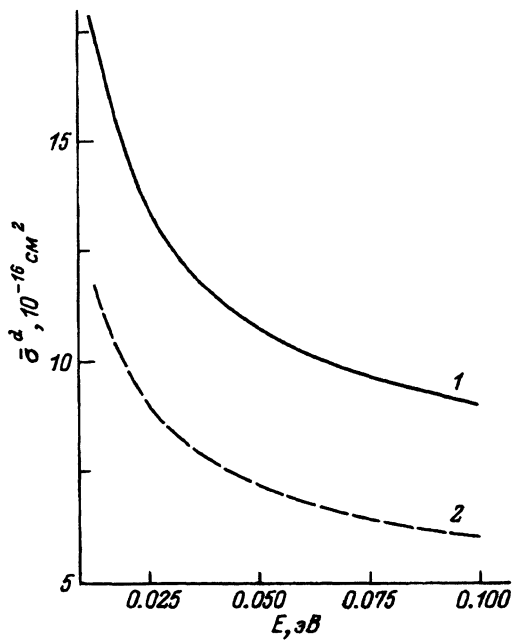


Рис. 4. Энергетические зависимости $\bar{\sigma}_2^d(E)$ (1) и $10 \cdot \bar{\sigma}_4^d(E)$ (2) для вкладов прямого механизма в полные сечения ионизации при столкновениях $\text{Ne}(1s_2), \text{Ne}(1s_4)+\text{H}_2$. Для столкновений $\text{Ne}(1s_i)+\text{D}_2$ величина $\bar{\sigma}_{i,\text{D}_2}^d = 1.25 \cdot \bar{\sigma}_{i,\text{H}_2}^d$.

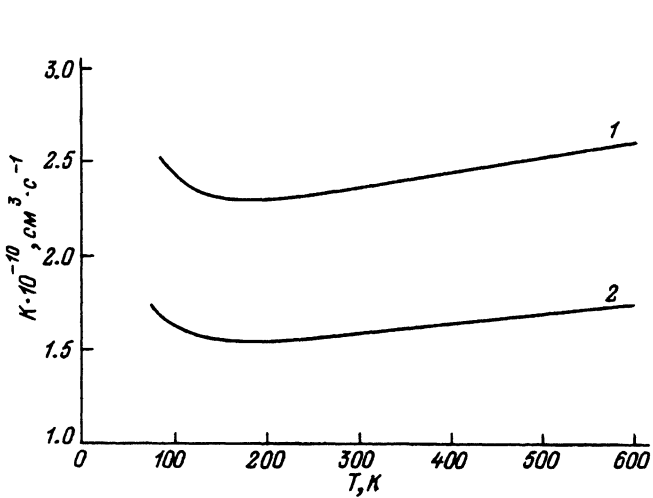


Рис. 5. Температурные зависимости $K_2^d(T)$ (1) и $10 \cdot K_4^d(T)$ (2) для вкладов прямого механизма в полные константы ионизации K_2 и K_4 при столкновениях $\text{Ne}(1s_2), \text{Ne}(1s_4)+\text{H}_2$. Для столкновений $\text{Ne}(1s_i)+\text{D}_2$ величина $K_{i,\text{D}_2}^d = 0.92 \cdot K_{i,\text{H}_2}^d$.

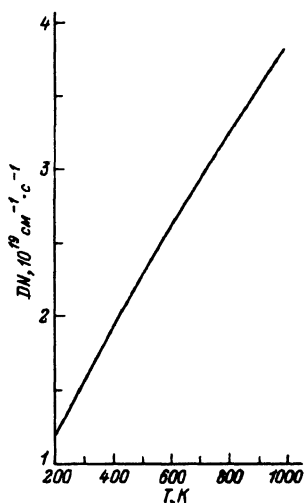


Рис. 6. Температурная зависимость величины $D_{\text{Ne}(3s)\text{H}_2} \cdot N_{\text{H}_2}$ диффузии возбужденных атомов $\text{Ne}(3s, 1s_i)$ в водороде ($i = 2, 3, 4, 5$). Для диффузии атомов $\text{Ne}(3s, 1s_i)$ вдейтерии величина $D_{\text{Ne}(3s)\text{D}_2} \cdot N_{\text{D}_2} = 0.74 \cdot D_{\text{Ne}(3s)\text{H}_2} \cdot N_{\text{H}_2}$.

При анализе процессов ионизации (1) для столкновений $\text{Ne}(3s, 1s_{2,4}) + \text{D}_2$ можно считать, что потенциальные поверхности квазимолекулы $\text{Ne}(3s)-\text{D}_2$ совпадают с потенциальными поверхностями $\text{Ne}(3s)-\text{H}_2$, так как значения определяющих величину $U_{300,300}(R, \theta_R)$ (7)–(11) характеристик молекул H_2 и D_2 близки [32]. В этом случае константы скорости ионизации $K_{i,\text{D}_2}^d(T)$ для столкновений $\text{Ne}(1s_i) + \text{D}_2$ отличаются от представленных на рис. 5 констант $K_{i,\text{H}_2}^d(T)$ для столкновений $\text{He}(1s_i)-\text{H}_2$ дополнительным множителем $\eta = \sigma_{i,\text{D}_2}^{ph}/\sigma_{i,\text{H}_2}^{ph}$ (см. (15), (25)). Сечения $\bar{\sigma}_{i,\text{D}_2}^d(E)$ для столкновений $\text{Ne}(1s_i) + \text{D}_2$ отличаются от представленных на рис. 4 сечений $\bar{\sigma}_{i,\text{H}_2}^d(E)$ дополнительным множителем $\kappa = (\mu_{\text{Ne},\text{D}_2}/\mu_{\text{Ne},\text{H}_2})^{1/2}$, тогда как сечения $\bar{\sigma}_{i,\text{D}_2}^d(v)$ отличаются от $\bar{\sigma}_{i,\text{H}_2}^d(v)$ только множителем η . Для приведенных в [9, 30] сечений σ^{ph} получаем $\eta = 0.92$, $\kappa = 1.25$. При определении величин K_{i,D_2}^{ex} и $\bar{\sigma}_{i,\text{D}_2}^{ex}$, как и для K_{i,H_2}^{ex} , $\bar{\sigma}_{i,\text{H}_2}^{ex}$ могут быть использованы экспериментальные значения K_3 , K_5 и $\bar{\sigma}_3$, $\bar{\sigma}_5$ для метастабильных состояний.

При $T = 300$ К для столкновений $\text{Ne}^* + \text{D}_2$ в [9] получены экспериментальные константы $K_3 = (8.6 \pm 0.8) \cdot 10^{-11} \text{ см}^3 \cdot \text{с}^{-1}$ и $K_5 = (7.5 \pm 0.4) \cdot 10^{-11} \text{ см}^3 \cdot \text{с}^{-1}$. Подстановка в (28), (29) вычисленных значений $K_{2,\text{D}_2}^d(300 \text{ K}) = 2.2 \cdot 10^{-10} \text{ см}^3 \cdot \text{с}^{-1}$, $K_{4,\text{D}_2}^d(300 \text{ K}) = 1.6 \cdot 10^{-11} \text{ см}^3 \cdot \text{с}^{-1}$ и экспериментальных констант K_{3,D_2} , K_{5,D_2} дает $K_{2,\text{D}_2}(300 \text{ K}) = 3.0 \times 10^{-10} \text{ см}^3 \cdot \text{с}^{-1}$, $K_{4,\text{D}_2}(300 \text{ K}) = 9.5 \cdot 10^{-11} \text{ см}^3 \cdot \text{с}^{-1}$. Экспериментальное значение $K_{4,\text{D}_2}(300 \text{ K}) = (10.3 \pm 0.9) \cdot 10^{-11} \text{ см}^3 \cdot \text{с}^{-1}$.

Диффузия возбужденных атомов $\text{Ne}(2p^53s^{1,3}P_3)$ в водороде и дейтерии

При анализе кинетических уравнений для атомов Ne^* в газовой смеси низкого давления наряду с ионизацией необходимо учитывать также и процессы диффузии. Коэффициенты диффузии возбужденных атомов $\text{Ne}(2p^53s^{1,3}P_J)$ в инертных газах приводятся в [21, 22]. Ниже вычислены коэффициенты диффузии возбужденных атомов $\text{Ne}(3s^{1,3}P_J)$ в водороде и дейтерии. При расчете пренебрегалось возможностью ионизации и изменения вращательного состояния в процессе столкновения $\text{Ne}^* + \text{H}_2, \text{D}_2$ [33].

Потенциальные поверхности взаимодействия $\text{Ne}(3s)-\text{H}_2$ во всех квазимолекулярных состояниях практически совпадают (в достижимой для тепловых столкновений области R). Поэтому коэффициенты диффузии $D_{\text{Ne}(3s^{1,3}P_J)\text{H}_2}$ для всех четырех атомных состояний ${}^{1,3}P_J$ также совпадают $D_{\text{Ne}(3s^{1,3}P_J)\text{H}_2} = D_{\text{Ne}(3s)\text{H}_2}$.

Потенциал взаимодействия $\text{Ne}(3s)-\text{H}_2$ слабо зависит от угла θ_R (рис. 2), так что при расчете коэффициентов диффузии взаимодействие можно считать центральным. В определяющей процесс диффузии (при $T \gtrsim 300$ К) области R средний потенциал $\bar{U}(R)$ является отталкивателем и имеет экспоненциальный характер $\bar{U}(R) = A \exp(-\alpha R)$. Поэто-

Таблица. Экспериментальные и вычисленные значения констант скорости ионизации K_i (в $10^{-11} \text{ см}^3 \cdot \text{с}^{-1}$) для процессов (1) при $T = 300 \text{ К}$

Константы	H_2		D_2	
	эксперимент	расчет	эксперимент	расчет
K_3	$6.5 \pm 0.6 [9]$	—	$8.6 \pm 0.8 [9]$	—
K_5	$6.5 \pm 0.8 [9]$	—	$7.5 \pm 0.4 [9]$	—
K_2^d	—	24	—	22
K_2^{ex}	—	6	—	8.1
K_4^d	—	1.7	—	1.6
K_4^{ex}	—	6.5	—	7.9
K_2	$20 \pm 5 [15]$	30	—	30
K_4	$7.5 \pm 2.0 [9]$	8.2	$10.3 \pm 0.9 [9]$	9.5

му при вычислении значений DN использовались аппроксимации [34] численных расчетов диффузионных сечений для экспоненциального потенциала взаимодействия. Полученная температурная зависимость величины $D_{\text{Ne}(3s)\text{H}_2} \cdot N_{\text{H}_2}$, где N_{H_2} — концентрация молекул H_2 , приводится на рис. 6.

Для диффузии атомов $\text{Ne}(3s)$ в дейтерии величина $D_{\text{Ne}(3s)\text{D}_2} N_{\text{D}_2} = (\mu_{\text{Ne},\text{H}_2} / \mu_{\text{Ne},\text{D}_2})^{1/2} D_{\text{Ne}(3s)\text{H}_2} N_{\text{H}_2} = 0.74 D_{\text{Ne}(3s)\text{H}_2} N_{\text{H}_2}$.

Заключение

Представление (26)–(29) сечений $\bar{\sigma}_i(E)$ и констант скорости $K_i(T)$ ионизации (1) при столкновениях резонансно-возбужденных атомов $\text{Ne}(3s, 1s_i)$, где $i = 2, 4$, с молекулами H_2 и D_2 в виде сумм вычисленных вкладов $\bar{\sigma}_i^d$, K_i^d прямого механизма ионизации и вкладов $\bar{\sigma}_i^{ex}$, K_i^{ex} обменного механизма, выраженных через экспериментальные сечения $\bar{\sigma}_{3,5}$ и константы скорости $K_{3,5}$ ионизации для метастабильных атомов $\text{Ne}(3s, 1s_i)$, где $i = 3, 5$, позволило получить значения $K_{2,4}$ при $T = 300 \text{ К}$ (см. таблицу).

При $T = 300 \text{ К}$ основной вклад в константу скорости ионизации K_4 для столкновений $\text{Ne}(1s_4)-\text{H}_2, \text{D}_2$ дает обменный механизм ($K_4^d \approx 0.25 K_4^{ex}$), так как сила осциллятора f_4 мала. Поэтому при тепловых энергиях экспериментальные значения величин $\bar{\sigma}_3$, $\bar{\sigma}_5$ и K_3 , K_5 для метастабильных атомов $\text{Ne}(3s^3 P_{0,2})$ являются достаточно хорошими оценками для сечений $\bar{\sigma}_4$ и констант скорости K_4 ионизации в процессах (1) с участием резонансно-возбужденного атома $\text{Ne}(3s^3 P_1)$. В то же время константа скорости ионизации K_2 при $T = 300 \text{ К}$ определяется прямым механизмом ($K_2^d \approx 3.5 K_2^{ex}$), что связано с относительно большим значением силы осциллятора f_2 . Таким образом, при тепловых энергиях хорошими оценками сечения $\bar{\sigma}_2$ и константы скорости K_2 ионизации (1) при столкновении $\text{Ne}(3s^1 P_1)+\text{H}_2$ являются приведенные на рис. 4, 5 величины $\bar{\sigma}_2^d$ и K_2^d . Для столкновений $\text{Ne}(3s^1 P_1)+\text{D}_2$ величины $\bar{\sigma}_{2,\text{D}_2}^d(E) = 1.25 \bar{\sigma}_{2,\text{H}_2}^d(E)$ и $K_{2,\text{D}_2}^d(T) = 0.92 K_{2,\text{H}_2}^d(T)$ также являются хорошими оценками для сечения $\bar{\sigma}_{2,\text{D}_2}(E)$ и константы скорости $K_{2,\text{D}_2}(T)$ ионизации. Отметим, что процессы ионизации (1) для

состояния $1s_2(3s^1P_1)$ идут значительно (в четыре раза) эффективнее, чем для состояний $1s_{3,4,5}(3s^3P_{0,1,2})$.

Авторы благодарны А.З.Девдариани и Ю.Н.Себякину за обсуждение работы.

Список литературы

- [1] Басов Н.Г., Данилычев В.А. // УФН. 1986. Т. 148. № 1. С. 55–100.
- [2] Niehaus A. // Physics of Electronic and Atomic Collisions. Inv. Papers XII ICPEAC. North. Holland, 1982. P. 237–254.
- [3] Aquilar-Navarro A., Brunetti B., Rosi S. et al. // J. Chem. Phys. 1985. Vol. 82. N 2. P. 773–779.
- [4] Buret W., Bregel T., Allan R.J. et al. // Z. Phys. 1985. Vol. A320. N 2. P. 105–123.
- [5] Verheijen M.J., Beijerinck H.C.W. // Chem.Phys. 1986. Vol. 102. N 1, 2. P. 255–273.
- [6] Aquilar A., Bianko S., Brunetti B. et al. // Mol. Phys. 1990. Vol. 71. N 4. P. 897–901.
- [7] Загребин А.Л., Себякин Ю.Н. // ЖТФ. 1990. Т. 60. Вып. 9. С. 17–24.
- [8] Девдариани А.З., Загребин А.Л., Себякин Ю.Н. // Процессы ионизации с участием возбужденных атомов. Л., 1989. С. 70–98.
- [9] Yokayama A., Hatano Y. // Chem. Phys. 1981. Vol. 63. N 1. P. 59–65.
- [10] Marshall T. // J. Appl. Phys. 1965. Vol. 36. N 3. P. 712–717.
- [11] Brom J.M.Jr., Kolts J.H., Setser P.W. // Chem. Phys. Lett. 1978. Vol. 55. N 1. P. 44–47.
- [12] Hotop H., Niehaus A. // Z. Phys. 1968. Vol. 215. N 4. P. 395–407.
- [13] West W.P., Cook T.B., Dunning F.B., Rundel R.D., Stebbings R.F. // J. Chem. Phys. 1975. Vol. 63. N 3. P. 1237–1242.
- [14] Bussert W., Ganz J., Hotop H. et al. // Chem. Phys. Lett. 1983. Vol. 95. N 3. P. 277–284.
- [15] Борисов В.Б., Егоров В.С., Пастор А.А., Сердобинцев П.Ю. // Тез. докл. IV Всесоюз. конф. по физике газового разряда. М., 1988. Т. 2. С. 95–96.
- [16] Иванов Г.К. // Теор. и эксперим. химия. 1979. Т. 15. № 2. С. 115–120.
- [17] Зембеков А.А., Иванов Г.К. // Теоретические проблемы химической физики. М.: Наука, 1982. С. 142–158.
- [18] Загребин А.Л., Павловская Н.А. // Хим. физика. 1988. Т. 7. № 4. С. 435–445.
- [19] Загребин А.Л., Церковный С.И. // Хим. физика. 1990. Т. 9. № 6. С. 729–734.
- [20] Братцев В.Ф. Таблицы атомных волновых функций. Л., 1977.
- [21] Девдариани А.З., Загребин А.Л. // Химия плазмы. М.: Энергоатомиздат, 1989. Вып. 15. С. 44–93.
- [22] Devdariani A.Z., Zagrebin A.L., Blagoev K.B. // Ann. Phys. Fr. 1989. Vol. 14. N 15. P. 467–604.
- [23] Девдариани А.З., Загребин А.Л., Касьяnenko С.В. и др. // ЖТФ. 1985. Т. 55. Вып. 2. С. 368–378.
- [24] Devdariani A.Z., Zagrebin A.L., Kasyanenko S.V. et al. // J. Phys. 1987. Vol. B20. N 11. P. 2447–2466.
- [25] Child H.S. Molecular Collisions Theory. London: Academic Press, 1974.
- [26] Penselle A., Runge S. // J. Phys. 1984. Vol. B17. N 23. P. 4689–4700.
- [27] Смирнов Б.М., Фирсов О.Б. // Письма в ЖЭТФ. 1965. Т. 2. Вып. 6. С. 478–482.
- [28] Katsuura K.K. // J. Chem. Phys. 1965. Vol. 42. N 11. P. 3771–3775.
- [29] Радиг А.А., Смирнов Б.М. Параметры атомов и атомных ионов. Справочник. М., 1986.
- [30] Cook G.R., Metzger P.H. // J. Opt. Soc. Am. 1964. Vol. 54. N 8. P. 968–972.
- [31] Смирнов Б.М. Возбужденные атомы. М., 1982.
- [32] Радиг А.А., Смирнов Б.М. Справочник по атомной и молекулярной физике. М., 1980.
- [33] Елецкий А.В., Палкина Л.А., Смирнов Б.М. Явления переноса в слабоионизованной плазме. М., 1975.
- [34] Редько Т.П. // Вестник ЛГУ. Серия физ. хим. 1981. № 16. С. 9–13.